

УДК 533.9.082.76

ХАРАКТЕРИСТИКА СФЕРИЧЕСКОГО ЗОНДА В НЕПОДВИЖНОМ ГАЗЕ ПРИ ИОНИЗАЦИИ ЩЕЛОЧНЫХ МЕТАЛЛОВ

А. В. Кашеваров

Центральный аэрогидродинамический институт им. Н. Е. Жуковского,
140180 Жуковский
E-mail: kash@dept.aerocentr.msk.su

Рассмотрен сферический зонд Ленгмюра в неподвижной слабоионизованной столкновительной плазме, состоящей из нейтральных молекул, положительных ионов и электронов, причем последние появляются в результате ионизации атомов присадки. В предположении, что плазма является изотермической, численно исследовано влияние реакции ионизации присадки и рекомбинации заряженных частиц на вольт-амперную характеристику зонда. Зондовые характеристики представлены в виде графиков в широком диапазоне значений отношения дебаевского радиуса к радиусу зонда при различных типах взаимодействия частиц с поверхностью.

Ключевые слова: электрический зонд, вольт-амперная характеристика, столкновительная плазма, химические реакции.

Введение. Электрический зонд является одним из основных средств диагностики низкотемпературной плазмы. При использовании его в плазме повышенного давления (порядка атмосферного) возникает проблема интерпретации результатов зондовых измерений. Для определения концентрации заряженных частиц по вольт-амперной характеристике (ВАХ) зонда предварительно необходимо решить сложную систему нелинейных дифференциальных уравнений. Как правило, это можно сделать только численно. Данная задача решена лишь в наиболее простой постановке, а именно для сферического зонда в неподвижной изотермической слабоионизованной плазме при наличии “замороженных” химических реакций [1]. В работе [1] зондовые характеристики представлены в широком диапазоне значений отношения дебаевского радиуса экранирования к радиусу зонда $\alpha = \lambda_D/R$: от $\alpha \ll 1$ до $\alpha \rightarrow \infty$.

ВАХ сферического зонда в движущейся плазме (двумерная задача) рассчитана в [2] при одном значении $\alpha \approx 0,05$. При $\alpha \ll 1$ вблизи поверхности зонда образуется электрический пограничный слой, что затрудняет решение задачи. Ранее проводился расчет токов насыщения, т. е. предельных токов на зонд, при $\alpha \rightarrow 0$ и потенциале зонда $\psi_p \rightarrow \pm\infty$ [3]. Так, в [4] при выполнении зондовых измерений в пламени со щелочными присадками рассчитан ионный ток насыщения на сферический зонд в медленно движущейся плазме (число Рейнольдса $Re \approx 10$) при наличии “замороженных” химических реакций. При этом точка на экспериментальной зондовой характеристике, в которой зондовый ток равен теоретическому току насыщения, выбиралась на основе результатов [1], предсказывающих медлен-

ное возрастание ионного тока начиная со значения безразмерного потенциала $\psi_p \approx 10$ при $\alpha = 10^{-3}$.

Зондовые измерения в пламени со щелочной присадкой проводятся в условиях реакции ионизации присадки и рекомбинации заряженных частиц



Здесь A , A^+ — атом и ион легкоионизирующейся присадки; e^- — электрон; M — любая молекула. Влияние кинетики данной реакции на величину тока насыщения сферического зонда в медленно движущейся плазме изучено численно в [5, 6] при различных типах взаимодействия частиц с поверхностью.

Представляет интерес исследование влияния реакции (1) на начало процесса насыщения зондового тока. При этом необходимо провести расчет полной ВАХ зонда. Естественно, в случае неподвижной плазмы решение данной проблемы упрощается. Исследование влияния конечных скоростей ионизации-рекомбинации на ВАХ сферического зонда в неподвижной плазме проводилось в классических работах [7, 8]. В [7] использован асимптотический подход, в [8] теоретический анализ дополнен численным интегрированием управляющих уравнений. Однако подробные ВАХ сферического зонда в неподвижной плазме при наличии химических реакций, подобные приведенным в [1] для случая “замороженных” химических реакций, автору данной работы неизвестны. В настоящей работе изучаются ВАХ для случая химической реакции (1).

Постановка задачи. Рассмотрим сферический зонд в неподвижной слабоионизованной изотермической плазме, в которой происходит реакция (1). При условии, что длина свободного пробега частиц значительно меньше R , поведение зонда описывается следующими уравнениями [9]:

$$\frac{1}{r^2} \frac{d}{dr} \left[r^2 \left(\frac{dn_+}{dr} - n_+ \frac{d\psi}{dr} \right) \right] = \text{Dm} (n_+ n_- - n_A); \quad (2)$$

$$\frac{1}{r^2} \frac{d}{dr} \left[r^2 \left(\frac{dn_-}{dr} + n_- \frac{d\psi}{dr} \right) \right] = \beta \text{Dm} (n_+ n_- - n_A); \quad (3)$$

$$\frac{1}{r^2} \frac{d}{dr} \left(r^2 \frac{dn_A}{dr} \right) = \beta_A \varkappa \text{Dm} (n_A - n_+ n_-); \quad (4)$$

$$\frac{\alpha^2}{r^2} \frac{d}{dr} \left(r^2 \frac{d\psi}{dr} \right) = n_+ - n_-. \quad (5)$$

Здесь r — радиальная координата, отнесенная к R ; n_+ , n_- , n_A — числовые концентрации ионов, электронов и свободных атомов присадки, отнесенные к значениям N_+ , N_- , N_A на бесконечности ($N_+ = N_- = N$); ψ — безразмерный электрический потенциал, связанный с размерным значением φ соотношением $\psi = -e\varphi/(kT)$; e — элементарный заряд; k — постоянная Больцмана; T — температура плазмы; $\beta = D_+/D_- \ll 1$ — отношение коэффициентов диффузии ионов и электронов; $\beta_A = D_+/D_A \approx 1$ — отношение коэффициентов диффузии ионов и свободных атомов; $\varkappa = N_+/N_A$ — степень ионизации атомов присадки; $\text{Dm} = \nu_i N_M N R^2 / D_+$ — число Дамкелера, характеризующее скорость протекания реакции; ν_i — константа скорости реакции ионизации; N_M — концентрация молекул.

При записи уравнений (2), (3) использовано соотношение Эйнштейна между коэффициентами подвижности и диффузии. Предполагалось, что реакция (1) находится в равновесии на бесконечности.

Для системы (2)–(5) граничными условиями вдали от зонда являются условия

$$\psi(\infty) = 0, \quad n_+(\infty) = n_-(\infty) = n_A(\infty) = 1.$$

На поверхности зонда задан потенциал, а заряженные частицы исчезают:

$$\psi(1) = \psi_p, \quad n_+(1) = n_-(1) = 0.$$

Что касается атомов присадки, то для них возможны различные типы граничного условия на поверхности. Так, в [8] считалось, что ионы присадки, попадая на зонд, теряют свой заряд и возвращаются в газ в виде атомов. Это эквивалентно следующему условию:

$$\left. \frac{dn_A}{dr} \right|_{r=1} = -\varkappa\beta_A \left. \frac{dn_+}{dr} \right|_{r=1}, \quad (6)$$

т. е. суммарный диффузионный поток нейтральных и ионизованных атомов на зонд равен нулю. Условие (6) предполагает также, что нейтральные атомы не поглощаются поверхностью.

Кроме того, в данной работе, как и в [5], рассматривается случай адсорбции ионов и непоглощения атомов:

$$\left. \frac{dn_A}{dr} \right|_{r=1} = 0. \quad (7)$$

Таким образом, в случае предельно малой степени ионизации присадки ($\varkappa \rightarrow 0$) условия (6), (7) становятся тождественными. Возможно также условие полного поглощения атомов присадки $n_A(1) = 0$, изучавшееся в [6]. При этом влияние кинетики ионизации-рекомбинации на ток насыщения достаточно слабое, поэтому в настоящей работе условие $n_A(1) = 0$ не рассматривается.

Решив краевую задачу для уравнений (2)–(5) с граничным условием (6) или (7), безразмерные токи I_{\pm} заряженных частиц на зонд можно определить по формуле

$$I_{\pm} = \left. \frac{dn_{\pm}}{dr} \right|_{r=1}.$$

Размерные зондовые токи J_{\pm} связаны с безразмерными соотношением

$$J_{\pm} = 4\pi e R N D_{\pm} I_{\pm}.$$

Необходимо найти также токи насыщения. Согласно [3] безразмерный ток насыщения I_s равен

$$I_s = 2 \left. \frac{dn}{dr} \right|_{r=1}.$$

Здесь n — квазинейтральная концентрация заряженных частиц, описываемая уравнением

$$\frac{1}{r^2} \frac{d}{dr} \left(r^2 \frac{dn}{dr} \right) = \frac{\text{Dm}}{2} (n_+ n_- - n_A). \quad (8)$$

Уравнение (8) получается суммированием (2) и (3) при $n_+ = n_- = n$ и $\beta \rightarrow 0$. Это уравнение необходимо решить при граничных условиях $n(1) = 0$, $n(\infty) = 1$ совместно с (4). При $\varkappa \rightarrow 0$ уравнение (4) имеет решение $n_A = 1$. При $\varkappa \neq 1$ в случае граничного условия (6) расчет тока насыщения также упрощается, поскольку из уравнений (4), (8) можно получить следующую связь между концентрациями:

$$n_A = 1 + 2\beta_A \varkappa (1 - n).$$

Метод решения. Решение поставленных краевых задач проводилось численно с помощью метода, использованного в [10] при расчете потенциала и заряда сферической частицы пыли. Заменой переменной $\xi = 1/r$ уравнения (2)–(5) преобразуются к виду

$$n_+'' - n_+' \psi' - n_+ \psi'' = \xi^{-4} \text{Dm} (n_+ n_- - n_A); \quad (9)$$

$$n''_- + n'_- \psi' + n_- \psi'' = 0; \quad (10)$$

$$n''_A = \xi^{-4} \beta_A \varkappa \text{Dm} (n_A - n_+ n_-); \quad (11)$$

$$\alpha^2 \xi^4 \psi'' = n_+ - n_-. \quad (12)$$

Здесь штрихами обозначены производные по ξ ($0 \leq \xi \leq 1$). Уравнение (10) получается из (3) в предположении $\beta \rightarrow 0$. При $\alpha \geq 1$ производная ψ'' в (9), (10) выражалась из (12).

Нелинейная система алгебраических уравнений, полученная в результате перехода к разностным уравнениям с использованием центральных разностей второго порядка, решалась методом простой итерации в диапазоне значений потенциала зонда $-15 \leq \psi_p \leq 15$ с шагом $\Delta\psi_p = 1$ и в диапазонах $-30 \leq \psi_p < -15$, $15 < \psi_p \leq 30$ с шагом $\Delta\psi_p = 5$. При $\psi_p = 0$ в качестве начального приближения использовались выражения $n_+ = n_- = 1 - \xi$, $n_A = 1$, $\psi = 0$, являющиеся точными решениями системы в случае $\varkappa \rightarrow 0$ и в случае “замороженных” химических реакций ($\text{Dm} = 0$). Те же выражения, за исключением последнего, которое принимало вид $\psi = \psi_p \xi$, применялись для расчета тока при $\psi_p = \pm 1$. Для остальных значений ψ_p начальными приближениями являлись решения, полученные на предыдущем шаге по ψ_p .

При $\alpha \geq 1$ значения n_+ находились из (9), n_- — из (10), значения ψ — из (12). При $\alpha < 1$ порядок вычисления изменялся: из уравнения (9) определялась величина ψ , а из уравнения (12) — величина n_+ . Расчетный интервал первоначально разбивался на 100 равных отрезков с шагом $h = 0,01$. Итерации продолжались до тех пор, пока во всех точках разность искомых величин, полученных в двух последовательных итерациях, по модулю не становилась меньше 10^{-10} . Для обеспечения устойчивости расчета использовался метод последовательной нижней релаксации. При необходимости численные решения, найденные на грубой сетке, уточнялись на сетке с шагом $h/2$ и так далее вплоть до $h/16$ при $\alpha = 10^{-3}$.

Для определения безразмерных токов ионов и электронов на зонд $I_{\pm} = -n'_{\pm}|_{\xi=1}$ использовались односторонние формулы численного дифференцирования второго порядка точности.

Для контроля используемая методика расчета была опробована для случая $\text{Dm} = 0$. Расчеты показали, что при $\alpha = 10^{-3}$ необходимо использовать представление $n_- = \tilde{n}_- + \exp(-\psi)$. Нетрудно показать, что уравнение для \tilde{n}_- имеет вид (10). Из уравнения (10) следует, что при больших потенциалах зонда ($\psi_p \gg 1$), когда $I_- \rightarrow 0$, между концентрацией электронов и потенциалом существует связь $n_- = \exp(-\psi)$. Указанное представление для n_- обеспечивает такую связь при проведении вычислений и играет роль регуляризатора, гарантируя сходимость итерационного процесса к решению системы (9)–(12). Известно, что метод простой итерации иногда дает ложные решения, т. е. процесс может сходиться, но не к решению исходной системы дифференциальных уравнений.

При $\text{Dm} \neq 0$ в расчетах с граничным условием (6) требуется учитывать соотношение

$$n'_A + \varkappa \beta_A (n'_+ - n\psi') = 0,$$

которое получается из уравнений (9), (11). Разностный аналог этого соотношения устанавливает связь между искомыми величинами в различных расчетных точках, а его использование обеспечивает сходимость итераций к решению исходной системы дифференциальных уравнений.

Результаты расчетов и их обсуждение. На рис. 1 представлены зондовые характеристики при $\varkappa \rightarrow 0$ и $\text{Dm} = 0,1; 1,0$. Видно, что в рассматриваемых случаях, в отличие от случая $\text{Dm} = 0$, ВАХ являются несимметричными относительно оси $\psi_p = 0$. При $\text{Dm} = 0$ точке характеристики, в которой безразмерные ионные и электронные токи равны, соответствует значение $\psi_p = 0$, что позволяет использовать ее для определения

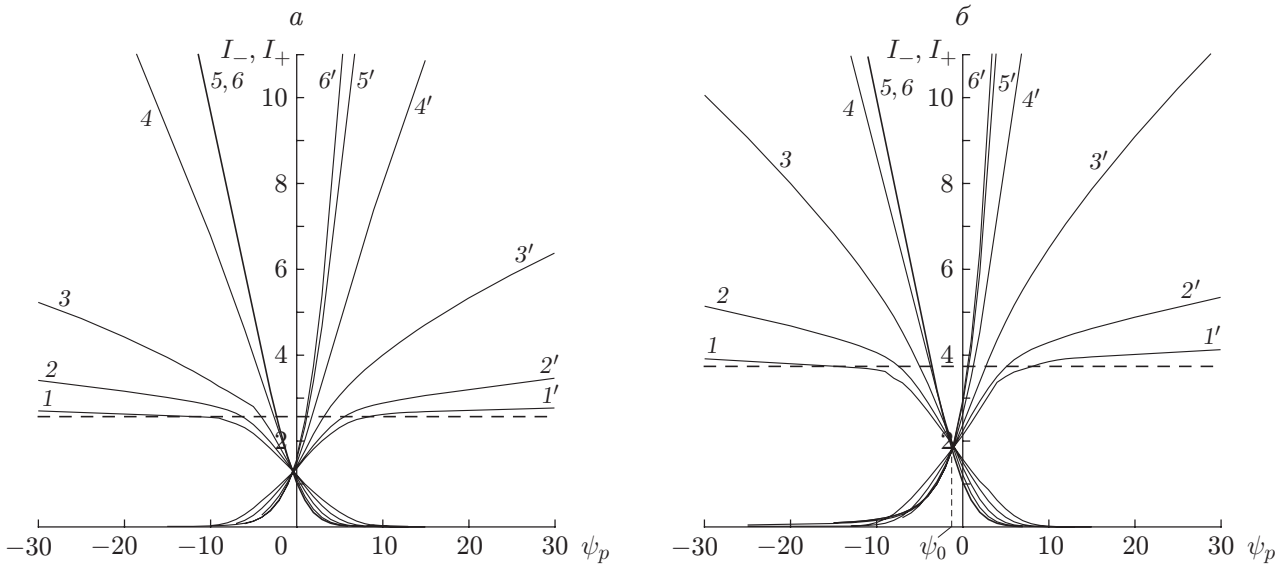


Рис. 1. Вольт-амперные характеристики зонда при $\varkappa \rightarrow 0$:
 а — $Dm = 0,1$, б — $Dm = 1,0$; 1–6 — ток электронов, 1'–6' — ток ионов; 1, 1' —
 $\alpha = 0,001$, 2, 2' — $\alpha = 0,01$, 3, 3' — $\alpha = 0,1$, 4, 4' — $\alpha = 1$, 5, 5' — $\alpha = 10$, 6, 6' —
 $\alpha \rightarrow \infty$; штриховые линии — ток насыщения

собственного потенциала плазмы. При $Dm \neq 0$ эта точка смещается в область $\psi_p < 0$ (точка ψ_0 на рис. 1, б).

При одном и том же значении α возрастание электронного тока при $\psi_p \rightarrow -\infty$ происходит несколько медленнее, чем возрастание ионного при $\psi_p \rightarrow +\infty$. Кривые 6, 6' соответствуют $\alpha \rightarrow \infty$, когда распределение потенциала имеет вид $\psi = \psi_p \xi$. При достаточно больших значениях $|\psi_p|$ величина токов на зонд близка к величине токов насыщения, показанных на рис. 1 штриховыми линиями. При увеличении Dm токи насыщения возрастают, однако положение точки, соответствующей началу процесса насыщения токов, практически не меняется: $|\psi_p - \psi_0| \approx 10$.

На рис. 2, а приведены ВАХ при $\varkappa = 1$, $\beta_A = 1$, $Dm = 1$ в случае граничного условия (7). При адсорбции ионов влияние химической реакции на зондовые характеристики меньше, чем в случае предельно малой степени ионизации $\varkappa \rightarrow 0$. Происходит снижение уровня токов насыщения, расположение характеристик имеет более симметричный вид. Следует отметить, что при $\alpha = 0,1$ с увеличением абсолютной величины потенциала зонда электронный ток растет быстрее, чем ионный (кривые 3, 3' на рис. 2, а).

Наоборот, в случае условия (6) рекомбинации ионов на поверхности зонда и возвращения их в газ в виде атомов (рис. 2, б) влияние реакции (1) на ионные ветви характеристик возрастает. При этом положение электронных ветвей, в отличие от случая, когда выполняется условие (7), при $\psi_p < -10$ практически не меняется. Это объясняется тем, что при $\psi_p \rightarrow -\infty$ ионный ток $I_+ \rightarrow 0$ и условие (6) вырождается в условие (7). Таким образом, уровни ионного и электронного токов насыщения становятся различными. Между тем независимо от граничного условия на поверхности процесс насыщения токов по-прежнему начинается при $|\psi_p - \psi_0| \approx 10$.

На рис. 3 представлены радиальные распределения концентраций ионов n_+ и электронов n_- вокруг зонда. Следует отметить, что значение n_+ превышает соответствующее значение на бесконечности при $\alpha = 10$ (сплошная кривая 3). Это превышение еще более увеличивается при $\varkappa = 1$ в случае граничного условия (6) (кривая 3')

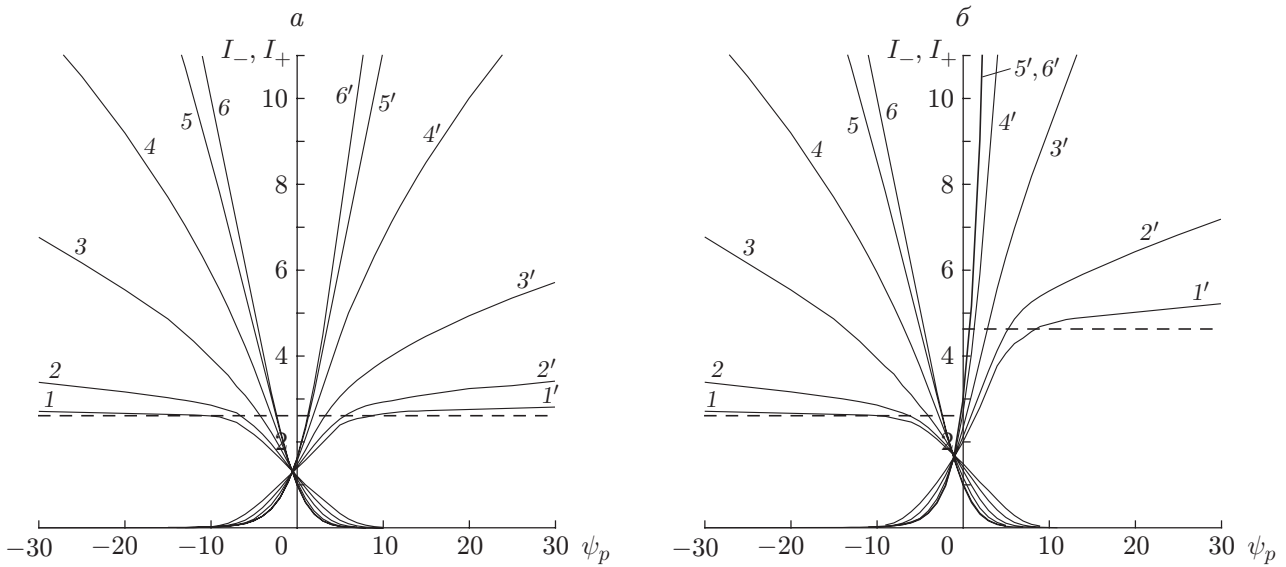


Рис. 2. Вольт-амперные характеристики зонда при $\varkappa = 1$, $\beta_A = 1$, $Dm = 1$:
 а — в случае граничного условия (7), б — в случае граничного условия (6); обозначения те же, что на рис. 1

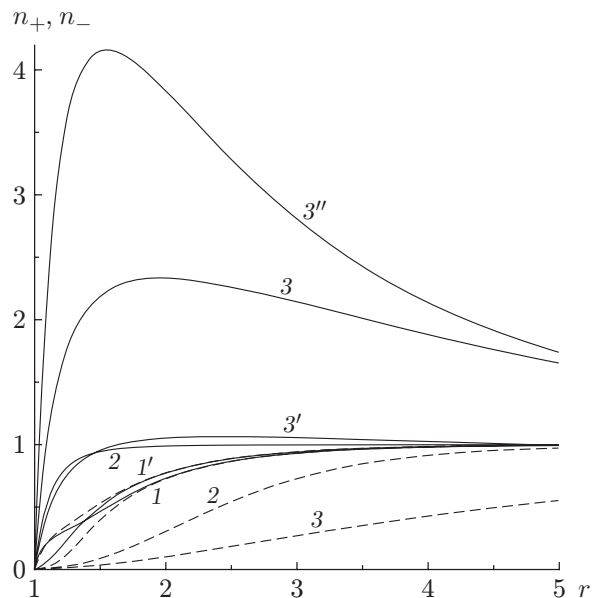


Рис. 3. Радиальные распределения концентраций ионов (сплошные кривые) и электронов (штриховые) вблизи зонда при $\psi_p = 5$:
 1 — $\alpha = 0,1$, $\varkappa \rightarrow 0$; 1' — $\alpha = 0,1$, $\varkappa \rightarrow 0$, $\psi_p = -5$; 2 — $\alpha = 1$, $\varkappa \rightarrow 0$; 3, 3', 3'' — $\alpha = 10$
 (3 — $\varkappa \rightarrow 0$; 3' — $\varkappa = 1$, условие (7); 3'' — $\varkappa = 1$, условие (6))

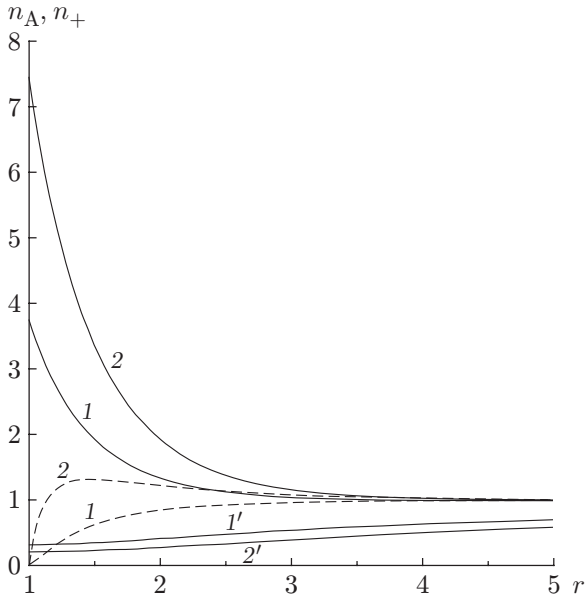


Рис. 4

Рис. 4. Радиальные распределения концентрации атомов (сплошные кривые) и ионов (штриховые):

1, 2 — в случае условия (6), 1', 2' — в случае условия (7); 1, 1' — $\alpha = 0,1$, 2, 2' — $\alpha = 1$

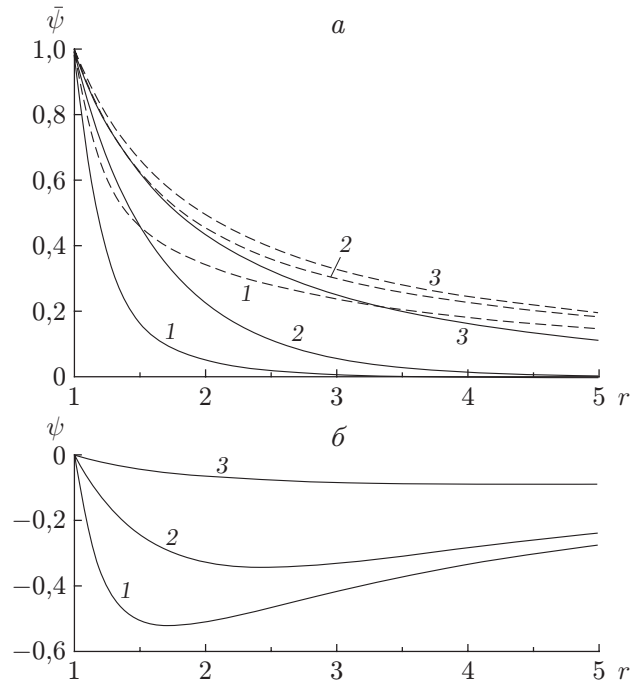


Рис. 5

Рис. 5. Радиальные распределения нормированного электрического потенциала $\bar{\psi} = \psi/\psi_p$ при $\psi_p = 5$ (сплошные кривые), $\psi_p = -5$ (штриховые) (а) и распределение $\psi(r)$ при $\psi_p = 0$ (б):

1 — $\alpha = 0,1$; 2 — $\alpha = 1$; 3 — $\alpha = 10$

уменьшается в случае условия (7) (кривая 3''). При $\alpha < 10$ влияние граничного условия менее существенно. При $\alpha = 0,1$ вблизи зонда образуется слой объемного заряда. При $\psi_p = -5$ этот слой оказывается более тонким, чем при $\psi_p = 5$ (ср. кривые 1' и 1).

На рис. 4 приведены радиальные распределения концентрации атомов n_A вокруг зонда. В случае условия (7) концентрация атомов присадки вблизи зонда резко уменьшается, а в случае условия (6) существенно увеличивается. Для условия (6) на рис. 4 представлены также распределения n_+ . В этом случае суммарная концентрация атомов и ионов $n_\Sigma = n_A + n_+$ должна быть постоянной по пространственной координате, однако вблизи поверхности зонда $n_\Sigma > 2$. Следует отметить, что это превышение компенсируется значениями $n_\Sigma < 2$ вдали от зонда.

На рис. 5 приведены радиальные распределения потенциала $\bar{\psi}(r)$ при двух значениях ψ_p . Несмотря на то что при $\psi_p = -5$ слой объемного заряда оказывается более тонким, чем при $\psi_p = 5$ (ср. кривые 1' и 1 на рис. 4), возмущение потенциала распространяется на большее расстояние. Из анализа распределения потенциала при $\psi_p = 0$ следует, что в отличие от случая $Dm = 0$ при $Dm \neq 0$ имеет место разделение зарядов.

Заключение. Расчеты показали, что учет кинетики ионизации-рекомбинации приводит к нарушению симметрии зондовых характеристик. Точка ψ_0 , в которой безразмерные ионные и электронные токи равны, смещается в область $\psi_p < 0$. Токи насыщения возрастают, однако, как и в случае “замороженных” реакций, процесс насыщения зондового

тока начинается при $|\psi_p - \psi_0| \approx 10$. Разработанный и опробованный алгоритм позволяет проводить расчет ВАХ в случае охлаждаемого сферического зонда в плазме при наличии химических реакций.

ЛИТЕРАТУРА

1. **Baum E., Chapkis R. L.** Theory of a spherical electrostatic probe in a continuum gas: an exact solution // AIAA J. 1970. V. 8, N 6. P. 1073–1077.
2. **Ватажин А. Б., Улыбышев К. Е.** Дозвуковое обтекание сферического зонда потоком электрически квазинейтрального слабоионизованного газа // Изв. РАН. Механика жидкости и газа. 2006. № 1. С. 68–75.
3. **Бенилов М. С., Тирский Г. А.** О токах насыщения на зонд в плотной плазме // ПМТФ. 1979. № 6. С. 16–24.
4. **Егорова З. М., Кашеваров А. В., Цхай Н. С.** Ионный ток насыщения на электрические зонды в потоках плазмы при малых числах Рейнольдса // ПМТФ. 1990. № 1. С. 159–163.
5. **Егорова З. М., Кашеваров А. В., Цхай Н. С.** Об ионном токе насыщения на электрические зонды в плазме пламени со щелочной присадкой // Теплофизика высоких температур. 1992. Т. 30, № 3. С. 448–456.
6. **Кашеваров А. В.** О влиянии кинетики рекомбинации на ток насыщения зонда Ленгмюра в плазме пламени с присадкой // Теплофизика высоких температур. 1994. Т. 32, № 1. С. 12–15.
7. **Cohen I. M., Schweitzer S.** First-order effects of production on the continuum theory of spherical electrostatic probes // AIAA J. 1968. V. 6, N 2. P. 298–304.
8. **Carrier G. F., Fendell F. E.** Electrostatic probe in a reacting gas // Phys. Fluids. 1970. V. 13, N 12. P. 2966–2982.
9. **Чан П.** Электрические зонды в неподвижной и движущейся плазме / П. Чан, Л. Тэлбот, К. Турян. М.: Мир, 1978.
10. **Кашеваров А. В.** О заряде и потенциале пылевой частицы в плазме при диффузионном режиме зарядки // Теплофизика высоких температур. 2008. Т. 46, № 5. С. 657–663.

*Поступила в редакцию 28/IV 2009 г.,
в окончательном варианте — 19/VI 2009 г.*
